

УДК 539. 2

© 1992

## ЭЛЕКТРОННАЯ СТРУКТУРА МЕТАЛЛИЧЕСКОЙ ФАЗЫ И ПЕРЕХОД МЕТАЛЛ—ИЗОЛЯТОР В $\text{VO}_2$

*А. В. Николаев, Ю. Н. Кострубов, Б. В. Андреев*

Проведен зонный расчет металлической фазы оксида ванадия  $\text{VO}_2$  в структуре рутила методом линейных присоединенных плоских волн с полным потенциалом (ПЛППВ) исходя из „первых принципов“. Энергетический спектр  $\text{VO}_2$  состоит из двух зон, разделенных щелью запрещенных состояний. Ширина щели составляет 0.62 эВ. Ниже щели находится широкая зона, состоящая в основном из  $p$ -составляющих кислорода. Выше щели находится узкая зона, образованная частью  $d$ -составляющих ванадия. Ее ширина 0.77 эВ. Рассчитанное значение плотности состояний на уровне Ферми составило 8.66 мДж/(К<sup>2</sup> · моль  $\text{VO}_2$ ). Получены хаббардовские параметры отталкивания  $d$ -электронов: 1.04 эВ по всем заполненным  $d$ -составляющим и 1.52 эВ по всем заполненным  $d$ -составляющим в верхней зоне проводимости. Обсуждаются особенности перехода металл—изолятор в  $\text{VO}_2$  исходя из мотовской концепции локализации—делокализации  $d$ -составляющих. Предложена модель такого перехода.

Интерес к изучению электронной структуры  $\text{VO}_2$  вызван переходом металл—изолятор и поиском ключевых физических механизмов этого перехода. Структура зонного энергетического спектра при этом выступает в качестве базиса, на котором основываются дальнейшие рассуждения.

Как известно,  $\text{VO}_2$  испытывает фазовый переход первого рода с изменением структуры решетки (моноclinный рутил) при 340 К. При этом происходит скачок в удельной проводимости в 10<sup>5</sup> раз. В низкотемпературной области локализованный магнитный момент не возникает, магнитная восприимчивость соответствует зонному парамагнетизму [1].

Существует несколько точек зрения на механизм перехода в  $\text{VO}_2$ . Гудинаф [2] указал на искажения решетки в низкосимметричной фазе как главную причину перехода. Другие авторы в качестве движущей силы перехода выделяют электрон—фононное взаимодействие [3,4], что восходит к работе [5]. И наконец, третьи считают, что этот переход вызван перестройкой электронной структуры [6].

Однако все эти теории в качестве основы используют структуру зон, предложенную Гудинафом на основе теории кристаллического поля [2] и развитую в последующих работах [7]. Существующие сегодня точные зонные методы, такие как ЛППВ метод с полным потенциалом, позволяют провести намного более корректные расчеты зонной структуры  $\text{VO}_2$  и провести анализ его электронного строения.

### 1. Метод вычислений

Мы использовали ПЛППВ метод [8,9] для анализа зонной структуры  $\text{VO}_2$  в высокотемпературной (выше 340 К) металлической фазе [10]. Достоинством этого метода являются: 1) точный учет гофрированного потенциала в области междоузлий, который содержит, кроме обменного и кулоновского вклада, дальнодей-

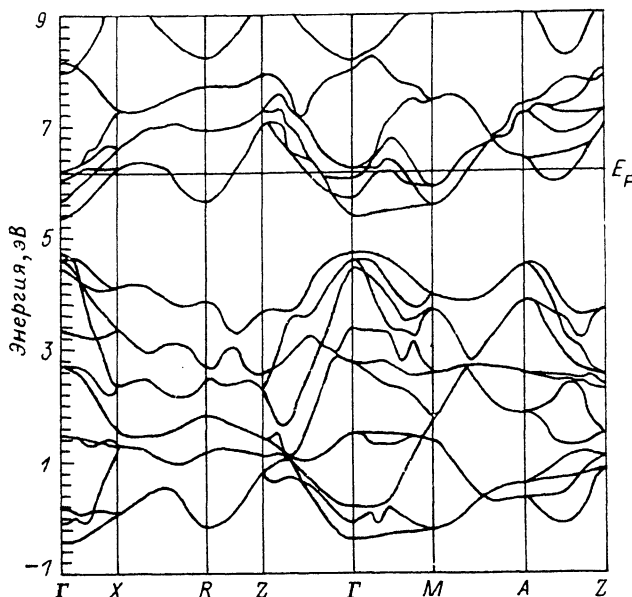


Рис. 1. Структура зон  $\text{VO}_2$  вдоль линий высокой симметрии.

ствующее маделунговское взаимодействие; 2) учет трансляционной симметрии кристалла; 3) учет в процессе расчетов релаксации остоянных оболочек ванадия и кислорода (приближение „незамороженного“ остова).

Все эти факторы недостаточно адекватно учитываются в модели кристаллического поля [<sup>2,7</sup>]. С другой стороны, в отличие от расчетов [<sup>4</sup>] была выполнена процедура самосогласования и получены совпадающие на входе и выходе электронная плотность и потенциал.

В металлической (высокотемпературной) фазе  $\text{VO}_2$  кристаллизован в структуру рутила ( $\text{TiO}_2$ ). Геометрические данные о решетке взяты из структурной работы [<sup>10</sup>]. Эти данные не сильно отличаются от последних структурных данных [<sup>11</sup>]. Постоянные МТ-сфер составили для кислорода 1.6 а.е., для ванадия — 2.0 а.е.

В качестве базисных векторов использовались присоединенные плоские волны с векторами обратной решетки  $G$  вплоть до энергии  $G^2=127$  эВ. Это составило в среднем 190 базисных функций на одну точку в  $k$ -пространстве.

Интересно, что, несмотря на отсутствие в элементарной ячейке структуры рутила симметрии относительно плоскостей, содержащих оси  $x$  и  $z$ , а также  $y$  и  $z$ , в обратном  $k$ -пространстве зоны обладают симметрией относительно этих двух плоскостей, в результате чего неприводимая часть зоны Бриллюэна составляет  $1/16$ , а не  $1/8$  части полной зоны Бриллюэна.

Обменно-корреляционная часть потенциала рассчитывалась согласно Барфу и Хедину [<sup>12</sup>].

## 2. Основные результаты расчетов

Зонная структура металлической фазы  $\text{VO}_2$  и полная плотность состояний приведены на рис. 1, 2.

Получены следующие основные результаты: дно зоны находится чуть ниже кристаллического нуля, при энергии -0.41 эВ, а уровень Ферми — на энергии 6.16 эВ.

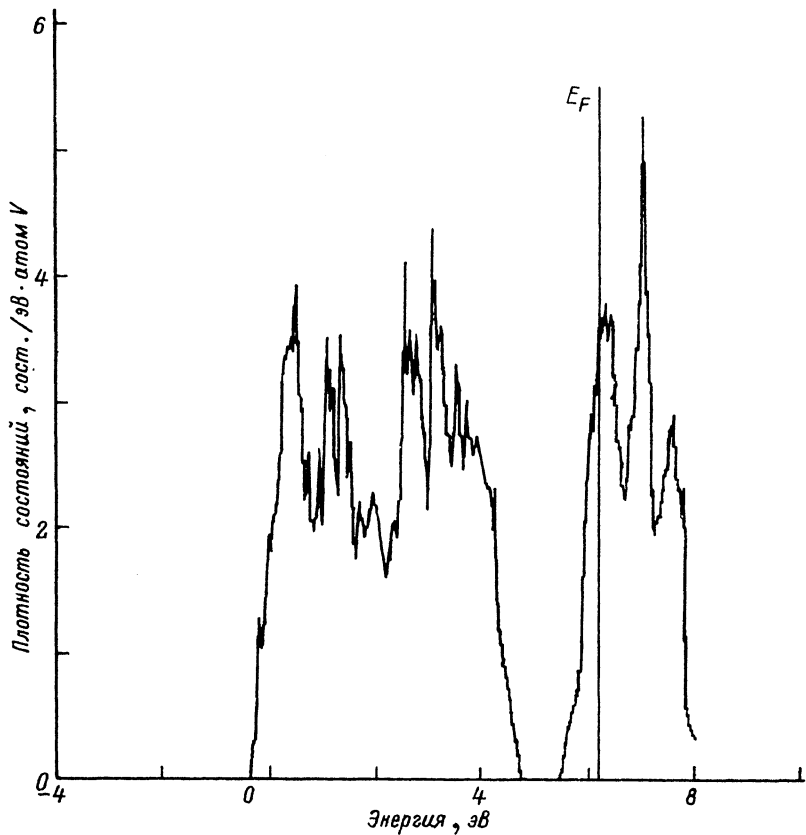


Рис. 2. Плотность состояний  $\text{VO}_2$ .

Полученная методом линейной интерполяции по 864 тетраэдрам 1/16 части неприводимой зоны Бриллюэна величина плотности состояний на уровне Ферми  $N(E_F)$  составила 3.67 состояний/(эВ центр V). Это соответствует коэффициенту удельной электронной теплоемкости  $\gamma=8.66 \text{ мДж}/(\text{К}^2 \cdot \text{моль } \text{VO}_2)$ , если не учитывать увеличение электронной массы  $\lambda$  за счет электрон-фононного взаимодействия.

Заметим, что значение  $N(E_F)$  в расчете на элементарную ячейку будет в два раза больше, поскольку в элементарной ячейке рутила 2 ванадиевых и 4 кислородных центра. Полученное значение  $N(E_F)$  приблизительно в 1.5 раза меньше приведенного в работе [4].

Распределение валентного парциального заряда в металлической фазе  $\text{VO}_2$  следующее: внутри МТ-сферы ванадия находятся 0.112(s), 0.198(p), 2.281(d) и 0.040(f), на кислородном центре внутри МТ-сферы находится 0.017(s), 3.393(p), 0.012(d), 0.005(f). В межсферной области элементарной ячейки находится довольно значительный валентный заряд: 8.276.

Характерной особенностью зонной структуры  $\text{VO}_2$ , как видно из рис.2, является наличие щели запрещенных состояний в интервале энергий от 4.77 до 5.39 эВ. Ее ширина, таким образом, составляет 0.62 эВ. Такая щель отделяет нижнюю заполненную зону, состоящую в основном из  $p$ -состояний кислорода, от зоны проводимости, состоящей из  $d$ -состояний ванадия. В самом деле, в образовании нижней зоны участвуют следующие парциальные заряды: 0.103(s), 0.197(p), 1.526(d), 0.040(f) от каждого центра ванадия и 0.016(s), 3.369(p), 0.007(d), 0.005(f) от каждого центра кислорода. Общий электронный валентный заряд

(включая межсферную область), формирующий зону ниже щели, составляет 24 электрона на одну элементарную ячейку. С другой стороны, в верхней зоне проводимости находятся всего 2 валентных электрона, причем распределение парциального заряда следующее: 0.009(s), 0.001(p), 0.755(d), 0.0(f) от каждого центра ванадия и 0.001(s), 0.024(p), 0.005(d), 0.0(f) от каждого кислородного центра.

Щель запрещенных состояний в энергетическом спектре  $\text{VO}_2$  не является чем-то неожиданным. У оксида титана  $\text{TiO}_2$ , который кристаллизирован в ту же структуру, что и  $\text{VO}_2$ , тоже существует щель между заполненными  $p$ -состояниями кислорода и вакантными  $d$ -состояниями титана. Поскольку в элементарной ячейке  $\text{TiO}_2$  содержится 24 валентных электрона (на два меньше, чем в  $\text{VO}_2$ ), то уровень Ферми как раз попадает на верхний край кислородной  $p$ -зоны, который расположен непосредственно ниже щели, и вследствие этого  $\text{TiO}_2$  является диэлектриком [13].

Что касается щели между  $d_{\parallel}$  и  $\pi^*$  состояниями, которая рассматривается в теории кристаллического поля [2,7], то, как показывают настоящие расчеты, а также выполненные зонным методом ДВМ [4], такой щели, по крайней мере для металлической фазы, в энергетическом спектре нет. Вопрос о том, могут ли искажения решетки привести к возникновению в низкотемпературной моноклинной фазе подобной щели, тем не менее остается открытым.

Мы полагаем, что возникновение одноэлектронной зонной щели в спектре между  $d_{\parallel}$  и  $\pi^*$  состояниями маловероятно.

Во-первых, указываемая в литературе величина щели 0.3—0.7 эВ слишком велика для того, чтобы появиться в результате искажения положений ванадиевых центров. Возникновение такой щели в спектре сопровождалось бы значительным изменением общей электронной энергии, намного превышающей энергию перехода, которая составляет величину порядка  $kT$ .

Во-вторых, фотоэмиссионные спектры  $\text{VO}_2$  [14] показывают, что изменение зонного энергетического спектра до и после перехода не очень существенное. В фотоэмиссионных спектрах  $\text{VO}_2$  фиксируются две большие зоны, разделенные минимумом интенсивности в соответствии с рис.2.

Небольшие изменения в процессе перехода металл—изолятор в фотоэмиссионных спектрах  $\text{VO}_2$  относятся к верхней  $d$ -зоне. В металлической фазе спад интенсивности фотоэмиссионного спектра вблизи уровня Ферми носит резкий характер, в то время как в неметаллической фазе интенсивность, отвечающая  $d$ -зоне, носит колоколообразный характер, а уровень Ферми попадает на спад кривой интенсивности [14].

Изменения спектров фотоэмиссии  $\text{VO}_2$  можно объяснить локализацией пары  $d$ -электронов на связи  $V-V$ , которое приводит к разрушению зонной структуры верхней зоны. В идеальном случае полной локализации в спектре фотоэмиссии появился бы дискретный спектр. В действительности локализованные  $d$ -состояния взаимодействуют с нижней зоной, вследствие чего происходит расплывание линии в колоколообразную кривую, которая и фиксируется в реальных спектрах. При этом центр ее тяжести приблизительно совпадает с центром тяжести верхней зоны выше точки перехода. Это приводит к тому, что выигрыш энергии при переходе намного меньше 1 эВ и переход вызывается изменением энергии порядка  $kT$ .

Механизм такого перехода позволяет понять модель Мотта—Хаббарда [15,16].

### 3. Переход металл—изолятор в $\text{VO}_2$

Изменение характера верхних  $d$ -состояний ванадия по типу делокализация—локализация не приводит к значительному изменению в электронной структуре нижней зоны. Роль нижней кислородной зоны, таким образом, сводится к тому,

что она формирует саму структуру рутила и является своеобразным электронным „фоном“, на котором происходит переход в  $\text{VO}_2$ .

Действительно, структура связи  $\text{VO}_2$  характеризуется значительным перераспределением электронной плотности по сравнению с нейтральными кислородом и ванадием. Электронный заряд на ванадиевых центрах (внутри МТ-сферы) уменьшается на 0.322 по сравнению с нейтральным атомом. Этот заряд целиком переходит на кислородные центры, за счет чего электронный заряд на каждом О-центре (внутри МТ-сферы) возрастает на 0.286. Кроме того, как видно из баланса общей электронной плотности, часть электронного заряда перетягивается кислородом из межсферной области. Такое перераспределение электронной плотности приводит к возникновению связи между V и O по типу ионной. В формировании этой связи участвует большая часть валентных электронов (24 из 26). Оставшиеся 2 валентных электрона, очевидно, не вносят существенного вклада в образование связи, но именно они участвуют в проводимости и обуславливают переход.

Уменьшение электронного заряда на центре вызывает уменьшение экранирования заряда ядра, что приводит к понижению одноэлектронной энергии локализованного (атомоподобного)  $d$ -уровня и уменьшению среднего радиуса  $d$ -оболочки  $r_d$  от значения 1.47 а.е. для нейтрального атома до величины в 1.12 а.е. в  $\text{VO}_2$ . Учитывая, что общий объем элементарной ячейки составляет 400.53 а.е.<sup>3</sup>, и зная общий заряд  $d$ -типа, можно оценить величину  $M = (n_d^{1/3} r_d)$ , где  $n_d$  — средняя электронная валентная плотность  $d$ -типа в элементарной ячейке. Оказалось, что значение  $M = 0.25$  близко к критическому, что означает, согласно Мотту [15], возможность перехода металл—изолятор в  $\text{VO}_2$ .

Большой интерес вызывают также численные значения параметров Хаббарда  $U(l-l)$ , которые представляют собой величины кулоновского отталкивания, связанные с распределением валентной электронной плотности  $l$ -типа внутри МТ-сферы. (Точное определение используемых ниже параметров Хаббарда приводится в работе [17].)

Как показывают настоящие вычисления, наибольшая величина  $U(l-l)$  в  $\text{VO}_2$  относится не к  $D$ -состояниям ванадия, а к  $p$ -состояниям кислорода и составляет довольно большое значение — 25.9 эВ. Но, поскольку  $p$ -состояния образуют заполненную зону, которая отделена от верхней зоны щелью запрещенных состояний, этот параметр не оказывает влияния на сам переход.

Величина  $U(d-d)$ , связанная с  $d$ -состояниями ванадия, тоже достаточно велика. По всем заполненным  $d$ -состояниям это 21.54 эВ. Но в отличие от других параметров Хаббарда ее значение сильно зависит от энергии. Так, у дна  $p$ -зоны (около нуля кристаллического потенциала) это 20.14 эВ, по всем состояниям ниже щели это 20.90 эВ, а в верхней зоне, ответственной за переход, величина  $U(d-d)$  принимает значение 22.92 эВ. Если взять за „фоновое“ значение кулоновское отталкивание  $s-s$ -состояний на центрах ванадия  $U(s-s) = 20.5$  эВ, то эффективное значение параметра Хаббарда для  $d$ -состояний, определенное как  $U(d-d)_V = U(d-d)_V - U(s-s)_V$ , в среднем составит 1.04 эВ, причем для нижней зоны 0.4 эВ, а для верхней 1.52 эВ. Существенно, что эта величина сравнима со значением кинетической энергии  $d$ -состояний верхней зоны, которую можно оценить или шириной верхней зоны (0.77 эВ), или шириной интервала между уровнем Ферми и верхним краем  $p$ -зоны (1.39 эВ). Таким образом, кинетическая энергия и кулоновское отталкивание в  $\text{VO}_2$  характеризуются приблизительно одинаковыми величинами, что указывает на возможность перехода металл—изолятор, индуцированного кулоновским отталкиванием (концепция Мотта—Хаббарда).

Результаты расчета зонной структуры позволяют предложить простую модель, описывающую переход металл—изолятор в  $\text{VO}_2$ . Действительно, как уже отмечалось, зона проводимости данного соединения сформирована в основном  $d$ -

состояниями ванадия. Кислородные орбитали заполнены, отделены щелью и не дают вклада в металлическую проводимость. Атомы кислорода влияют лишь на кристаллический самосогласованный потенциал, который учитывался в рамках зонного расчета. Таким образом, зонное описание работает всюду, кроме малой (порядка размеров соответствующей  $d$ -орбитали) окрестности атома ванадия. Состояния в этой области в духе метода присоединенных плоских волн представим набором локализованных дискретных термов. Их описание требует корректного учета многочастичных эффектов. Эти локализованные состояния, разумеется, неортогональны состояниям в области вне МТ-сфер, представляющих собой суперпозицию плоских волн. Такое искусственное разделение на „локальные“ и „зонные“ состояния не несет в себе глубокого физического смысла и является, как и в методе присоединенных плоских волн, удобным методическим приемом, позволяющим локализовать взаимодействие. В простейшем случае одного „локального“ и одного „зонного“ состояния, пренебрегая электрон-фононным взаимодействием, описанную выше картину можно формализовать следующим модельным гамильтонианом

$$H = \sum_{k\sigma} \epsilon(k) a_{k\sigma}^+ a_{k\sigma} + t \sum_{i\sigma} c_{i\sigma}^+ c_{i\sigma} + \frac{I}{2} \sum_{i\sigma} c_{i\sigma}^+ c_{i\sigma} c_i^+ - \sigma c_i - \sigma + \\ + \sum_{ik\sigma} (V_{ik} a_{k\sigma}^+ c_{k\sigma} + \text{э. с.}) - \mu \left( \sum_{k\sigma} a_{k\sigma}^+ a_{k\sigma} + \sum_{i\sigma} c_{i\sigma}^+ c_{i\sigma} \right), \quad (1)$$

где  $\epsilon(k)$  и  $t$  — энергии „зонного“ и „локального“ состояния соответственно,  $V_{ik}$  — интеграл перекрывания между этими состояниями,  $I$  — энергия электростатического отталкивания на „локальном“ уровне,  $\mu$  — химический потенциал,  $a_{k\sigma}^{(+)}$  и  $c_{i\sigma}^{(+)}$  — операторы уничтожения (рождения) электрона в „зонном“ и „локальном“ состоянии.

Гамильтониан (1) совпадает по форме с гамильтонианом Андерсона, описывающим магнитные примеси в металле [18]. Основные отличия от модели Андерсона следующие.

а) Величины  $\epsilon(k)$  и  $t$  являются формальными затравочными параметрами (истинный невозмущенный спектр, а также внутри- и межзонные взаимодействия получаются после диагонализации невозмущенной части гамильтониана (1)).

б) Первое и второе слагаемые в гамильтониане (1) описывают состояния в различных областях пространства; четвертое слагаемое содержит амплитуду перехода из одной области в другую. За счет гибридизации в зоне проводимости возникает эффективное взаимодействие, знак и величина которого зависят от положения уровня Ферми. Это эффективное взаимодействие носит неточечный характер, что существенно при образовании электрон-дырочного спаривания [19].

в) Энергия локального терма  $t$ , перенормированная взаимодействием, лежит выше „затравочного“ уровня Ферми. Таким образом, локализованный магнитный момент в системе не возникает.

Расчет спектра гамильтониана (1), проведенный с учетом электрон-дырочного спаривания [19, 20], показывает при низких температурах наличие энергетической щели. При  $T = 0$  величина щели определяется уравнениями

$$D = aF_F \exp(-1/\tilde{I}N(F_F)),$$

$$\tilde{I} = \frac{I |V_{ik}|}{(I^2 + |V_{ik}|^2 + D^2)^{1/2}}, \quad (2)$$

где  $E_F$  — энергия Ферми,  $N(E_F)$  — плотность состояний на поверхности Ферми,  $a$  — безразмерный коэффициент порядка единицы. При  $T > T_c$ , где  $T_c \approx (D^2 + |V_{ik}|^2)^{1/2}$ , щель в спектре отсутствует.

#### 4. Роль электрон-фононного взаимодействия

В начале статьи уже упоминались три возможные причины перехода. Хотя главной движущей силой перехода является, по нашему мнению, изменение электронной структуры  $\text{VO}_2$  через локализацию  $d$ -состояний зоны проводимости по схеме Мотта—Хаббарда, тем не менее важной особенностью данного соединения являются структурные искажения симметричной металлической фазы при низких температурах, что выделяется в качестве механизма перехода в других моделях, в частности в модели Аронова и Кудинова [5]. Покажем, как это связано с локализацией  $d$ -состояний.

В металлической фазе делокализованная  $d$ -электронная валентная плотность распределена изотропным образом вокруг центров ванадия, что приводит к изотропному характеру металлической связи, и вследствие этого металлической фазе отвечает более симметричная структура рутила. Локализация  $d$ -состояний в верхней зоне приводит к тому, что  $d$ -электроны становятся чувствительными к направлениям из-за взаимодействия между их лепестками; в свою очередь это приводит к искажениям симметричной структуры рутила. Локализация  $d$ -состояний не сопровождается значительным изменением объема только по той причине, что переход связан с верхней зоной и происходит на „фоне“ сильной связи между кислородом и ванадием, формируемой  $p$ -состояниями кислорода.

Учет межзонного электрон-колебательного взаимодействия приводит [20] к перенормировке (в сторону увеличения) величины  $\tilde{\Gamma}$  и соответственно к увеличению  $d$  и  $T_c$ . Кроме того, в диэлектрической фазе электрон-фононное взаимодействие может привести к стабилизации возбужденного локализованного состояния, связанного с перезарядкой атома ванадия и образованием локализованного магнитного момента (парамагнитный дефект). Эти дефекты должны иметь, согласно модели (1), электронную природу. Обнаружение таких дефектных центров, а также, возможно, нелинейных кинетических эффектов при их образовании под воздействием ионизирующего излучения [21] стало бы хорошим подтверждением развиваемых здесь представлений.

Настоящая работа выполнена в рамках научного проекта, финансируемого согласно постановлению Президиума АН СССР от 28. 12. 90 № 1335 (Проект №26).

#### Список литературы

- [1] Бугаев А. А., Захарченя Б. П., Чудновский Ф. А. Фазовый переход металл—полупроводник и его применение. Л.: Наука, 1979.
- [2] Goodenough J. B. // J. Solid State Chem. 1971. V. 3. P. 490.
- [3] Gervais F., Kress W. // Phys. Rev. B. 1985. V. 31. P. 4809.
- [4] Gupta M., Freeman A. J., Ellis D. D. // Phys. Rev. B. 1977. V. 16. P. 3338.
- [5] Аронов А. Г., Кудинов Е. К. // ЖЭТФ. 1968. Т. 55. С. 1344.
- [6] Zylbersztein A., Mott N. F. // Phys. Rev. B. 1975. V. 11. P. 4383
- [7] Sommers C., Groot R. DE., Kaplan D., Zylbersztein A. // J. Phys. (Paris) Lett. 1975. V. 36. P. L157.
- [8] Andersen O. K. // Phys. Rev. B. 1975. V. 12. P. 864.
- [9] Koelling D. D. // Rep. Prog. Phys. 1981. V. 44. P. 139.
- [10] Westman S. // Acta Chem. Scand. 1961. V. 15. P. 217.
- [11] McWhan D. B., Maczio M., Remcika J. P., Dernier P. D. // Phys. Rev. B. 1974. V. 10. P. 490.
- [12] Von Barth V., Hedin L. // J. Phys. C. 1972. V. 5. P. 1629.
- [13] Silvi B., Fourati N., Nada R., Catlow C. R. A. // J. Phys. Chem. Solids. 1991. V. 52. P. 1005.
- [14] Shin S., Suga S., Taniguchi M., Fujisawa M., Kanzaki H., Fujimori A., Daimon H., Ueda Y., Kosuge K., Kachi S. // Phys. Rev. B. 1990. V. 41. P. 4993.
- [15] Mott N. F. Metal—Insulator Transition. Taylor and Francis, London, 1974.

- [16] Hubbard J. // Proc. Roy. Soc. A. 1963. V. 276. P. 238.
- [17] Ionova G. V., Nikolaev A. V. // Phys. Stat. Sol (b). 1990. V. 162. P. 451.
- [18] Anderson P. W. // Phys. Rev. 1961. V. 124. P. 41.
- [19] Лозовик Ю. Е., Юдсон В. И. // ФТГ. 1975. Т. 17. № 5. С. 1613.
- [20] Кондаков Ю. В., Тимеров Р. Х. // ЖЭТФ. 1972. Т. 63. С. 290.
- [21] Andreev B. V., Kostrubov Yu. N. // Int. J. Mod. Phys. B. 1991. V. 5. P. 2271.

Институт физической химии РАН  
Москва

Поступило в Редакцию  
13 февраля 1992 г.

---